

FIG. 1

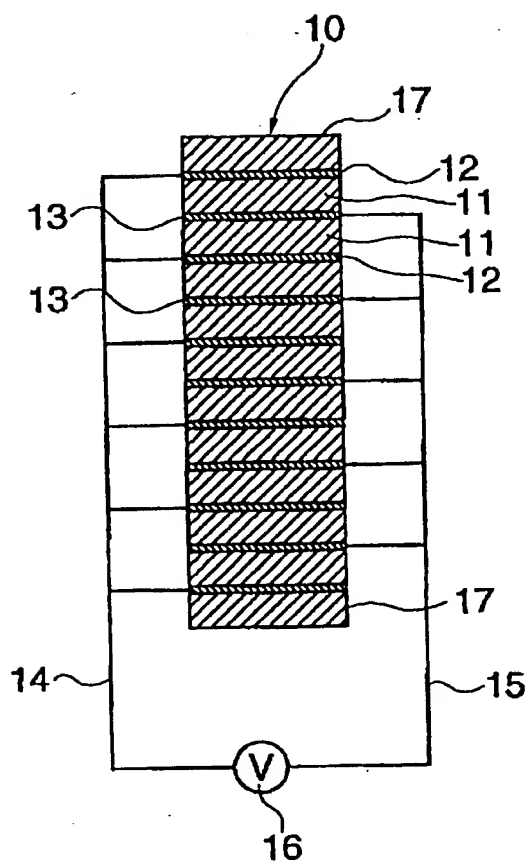
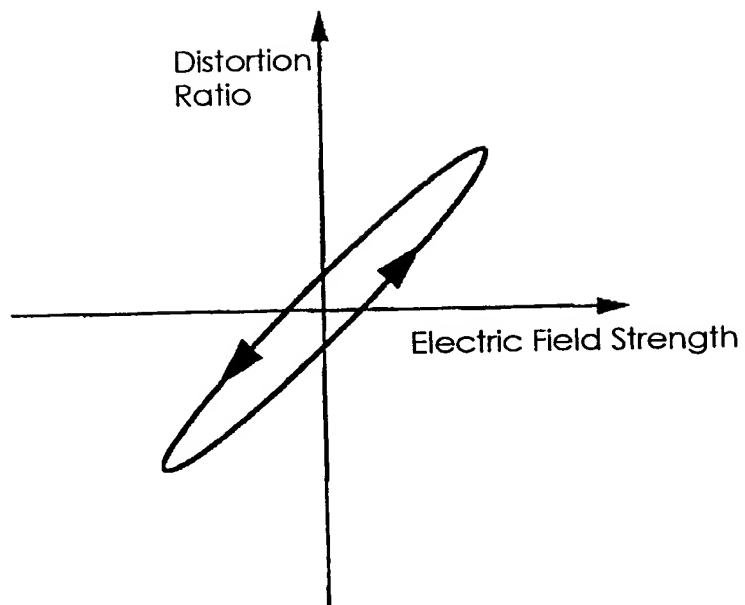
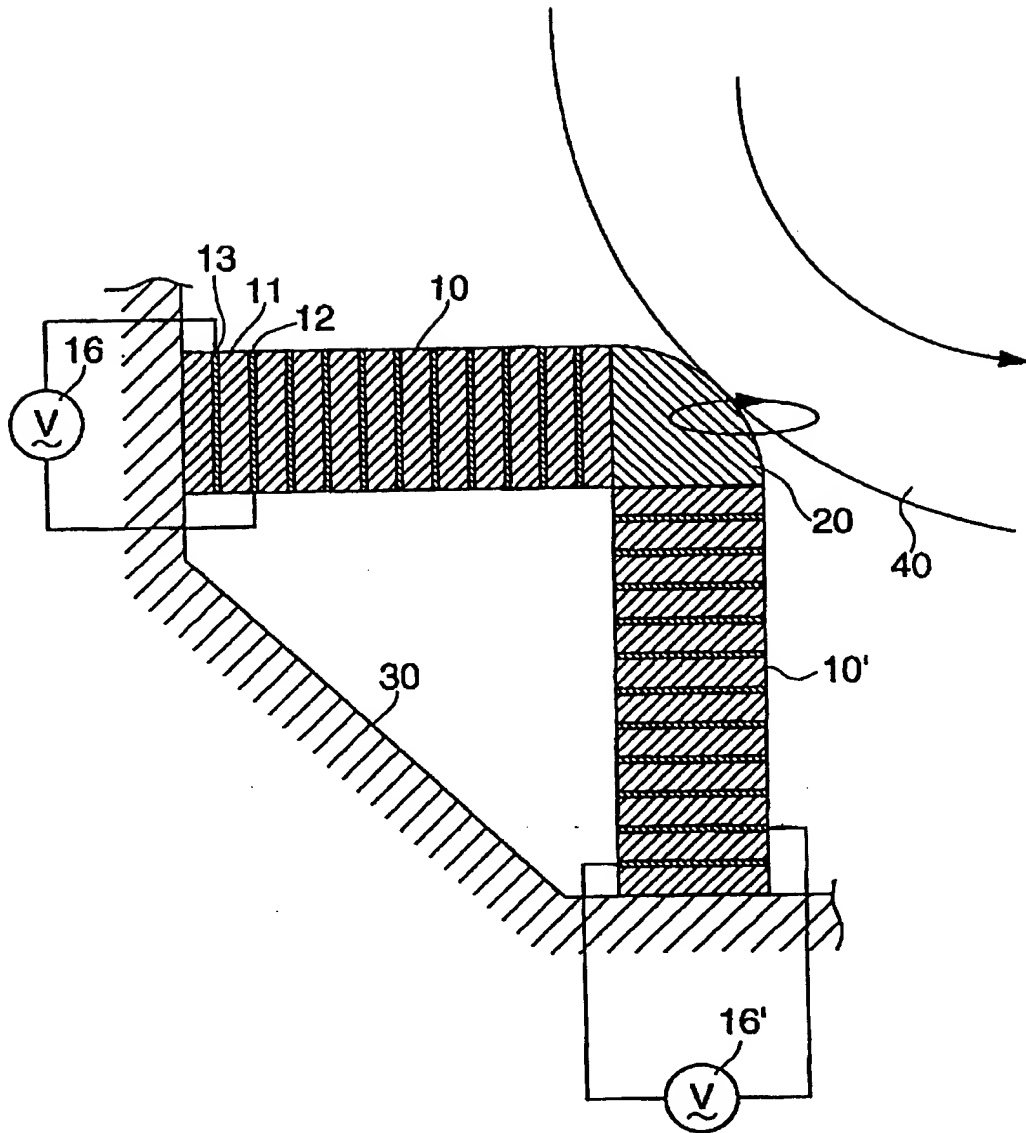


FIG. 2



09697570-102600

FIG. 3



00920T" 02526960

FIG. 4

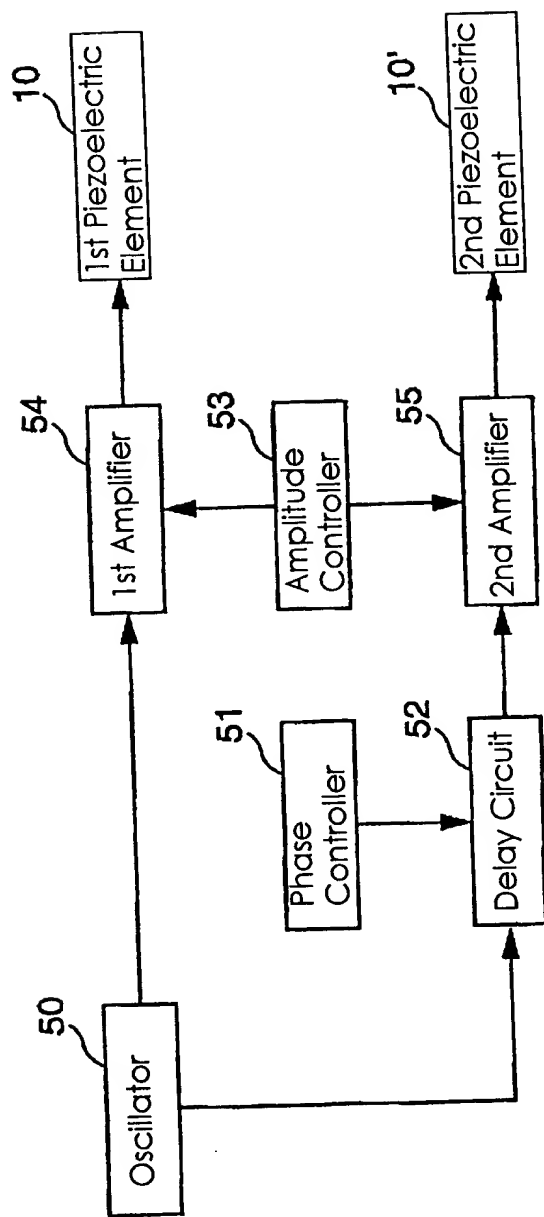


FIG. 5a

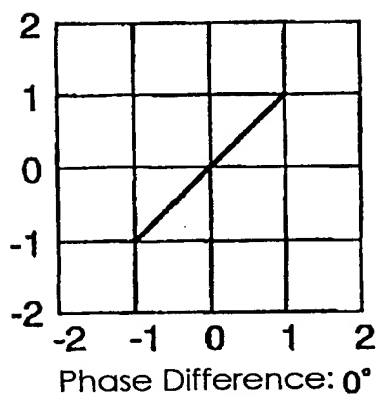


FIG. 5b

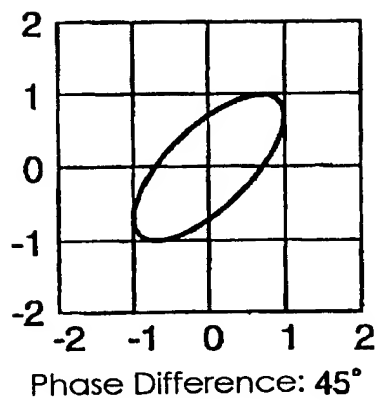


FIG. 5c

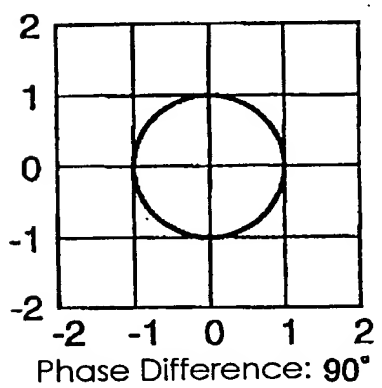


FIG. 5d

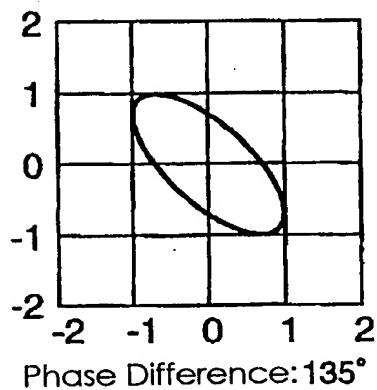


FIG. 5e

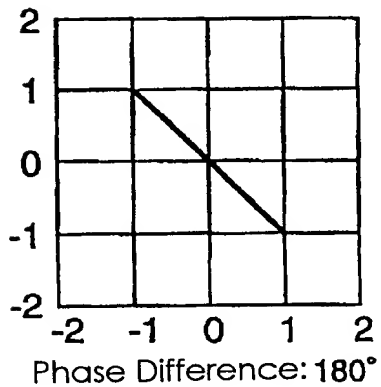


FIG. 6a

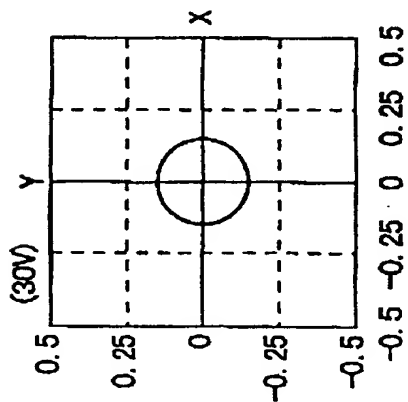


FIG. 6b

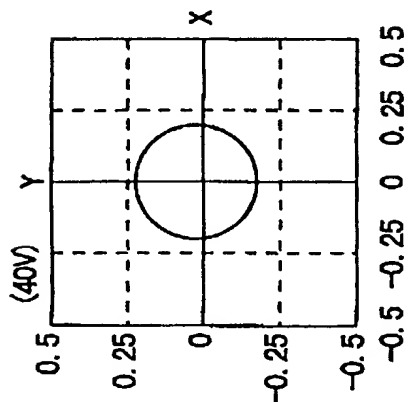


FIG. 6c

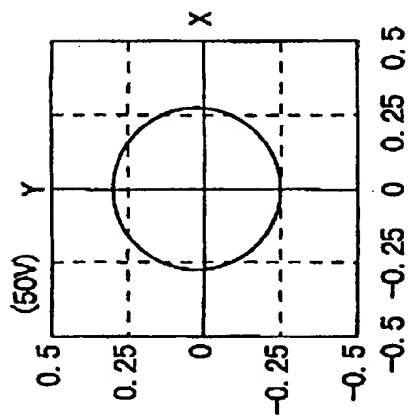


FIG. 6d

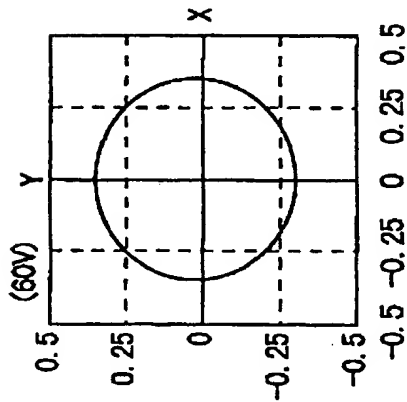


FIG. 6e

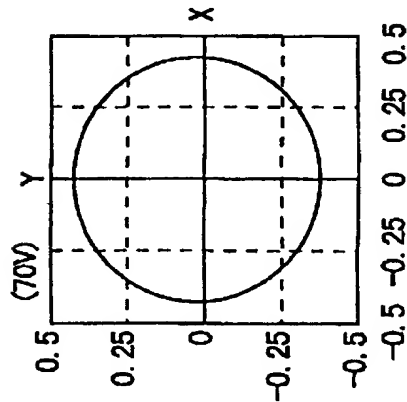


FIG. 6f

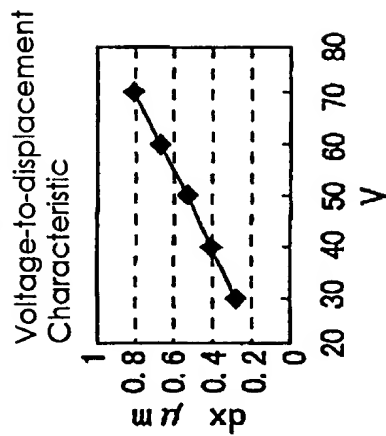


FIG. 7

Relationship between Compression Force and Contact Interval

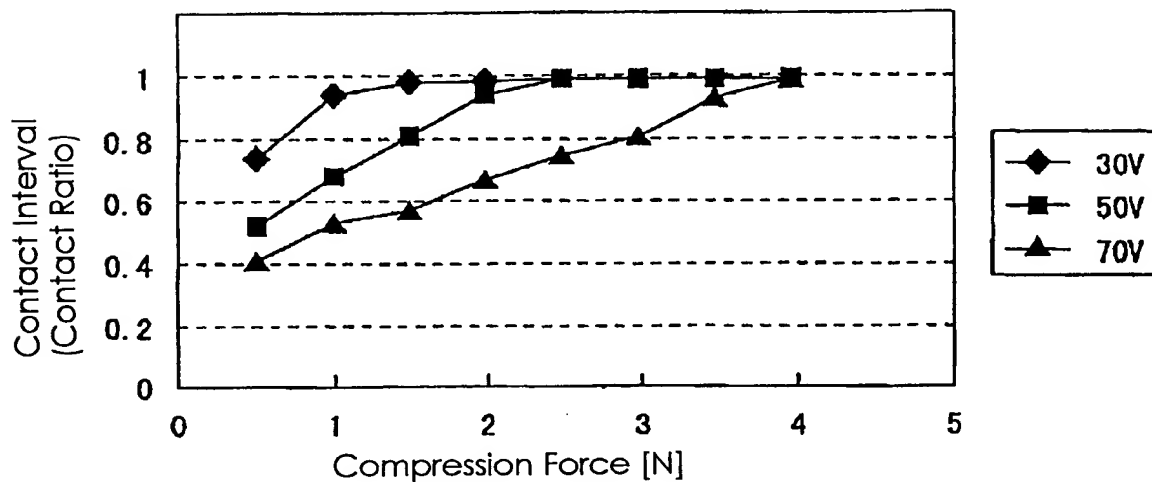


FIG. 8

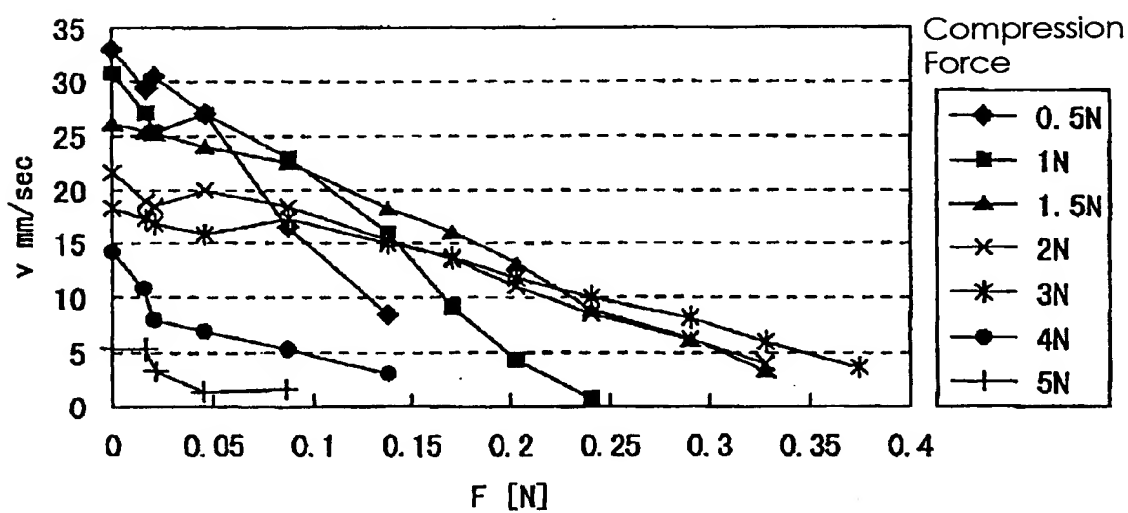


FIG. 9

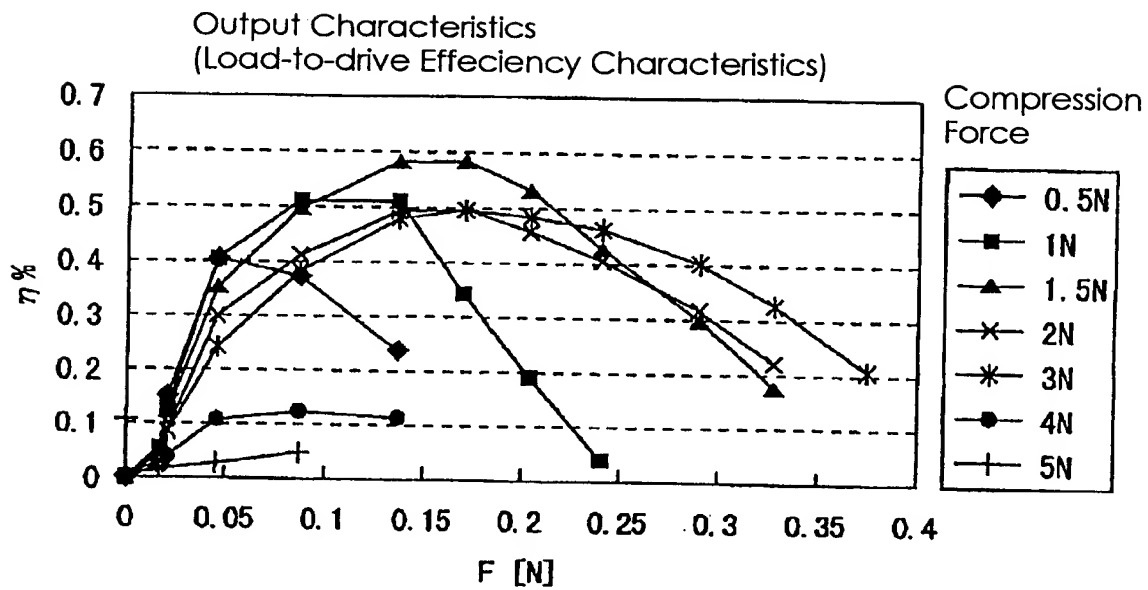
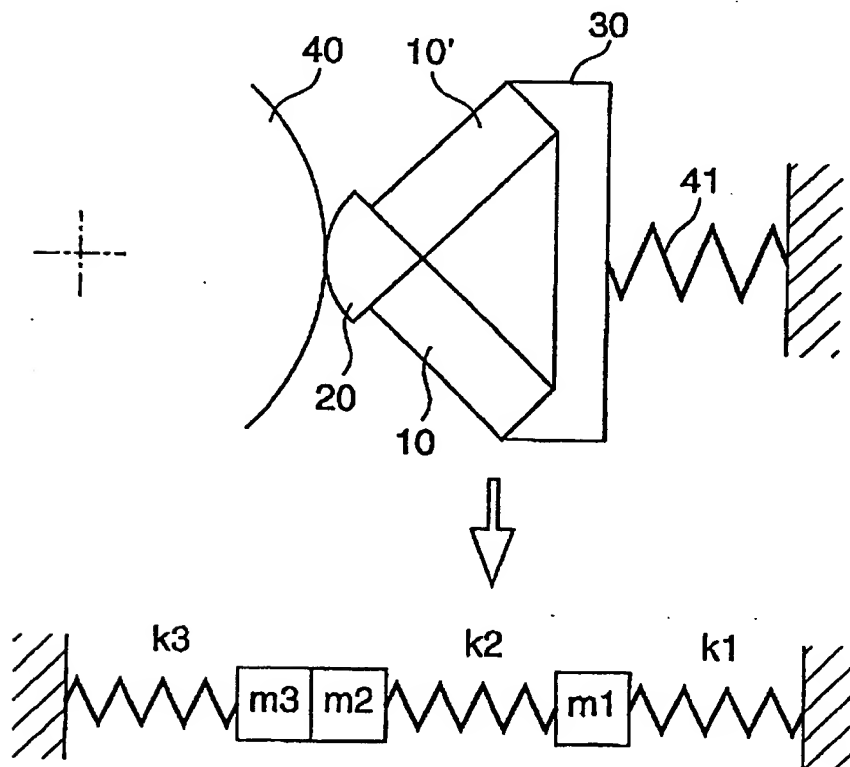


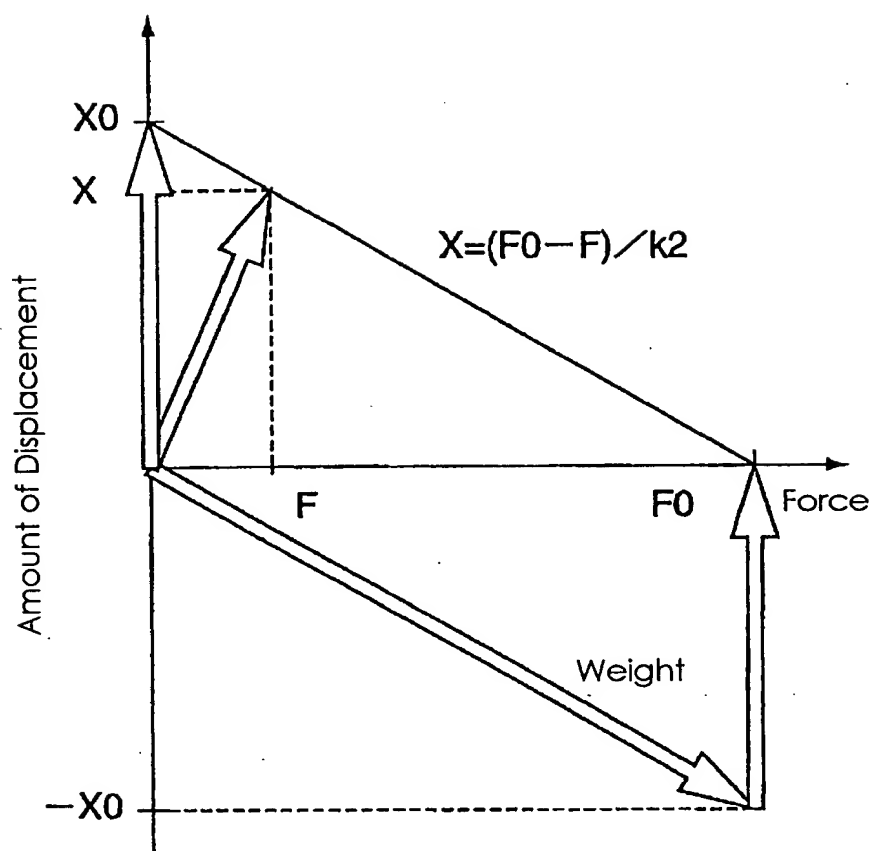
FIG. 10



09697570-102600



FIG. 11



00920T" 02526960

FIG. 12a

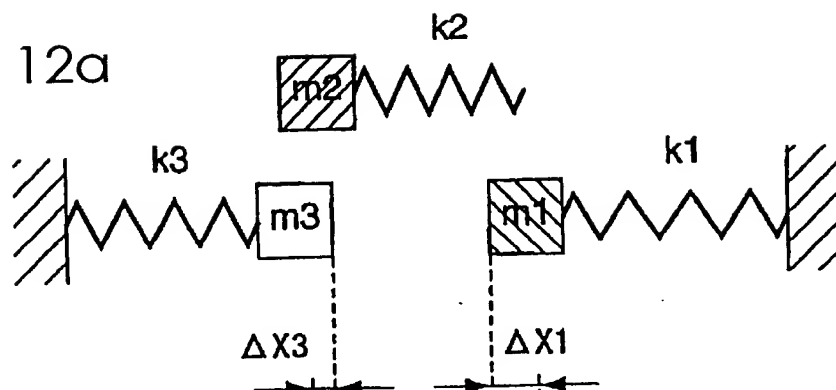


FIG. 12b

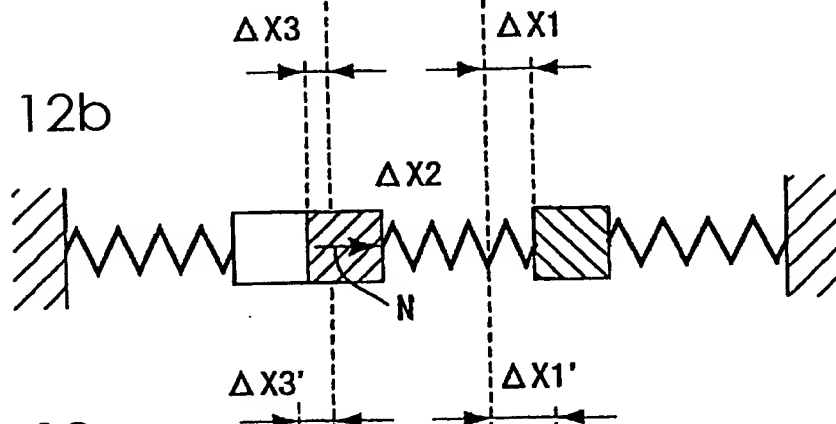


FIG. 12c

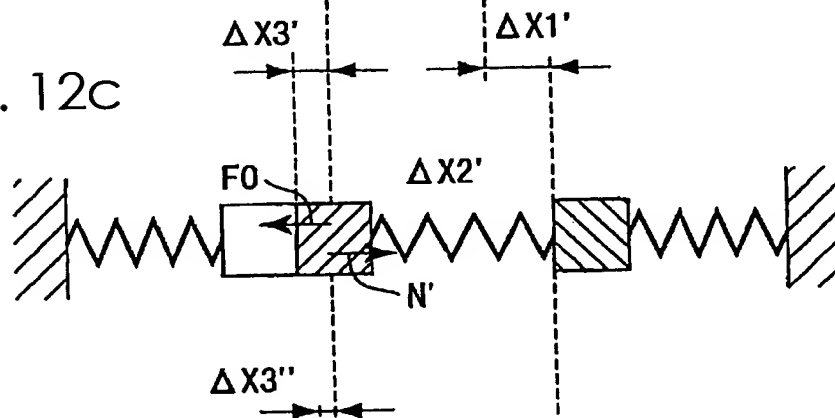
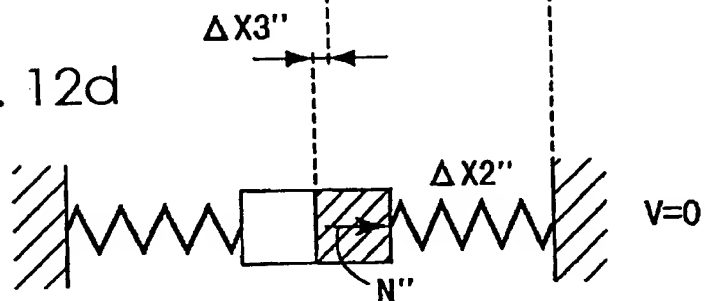
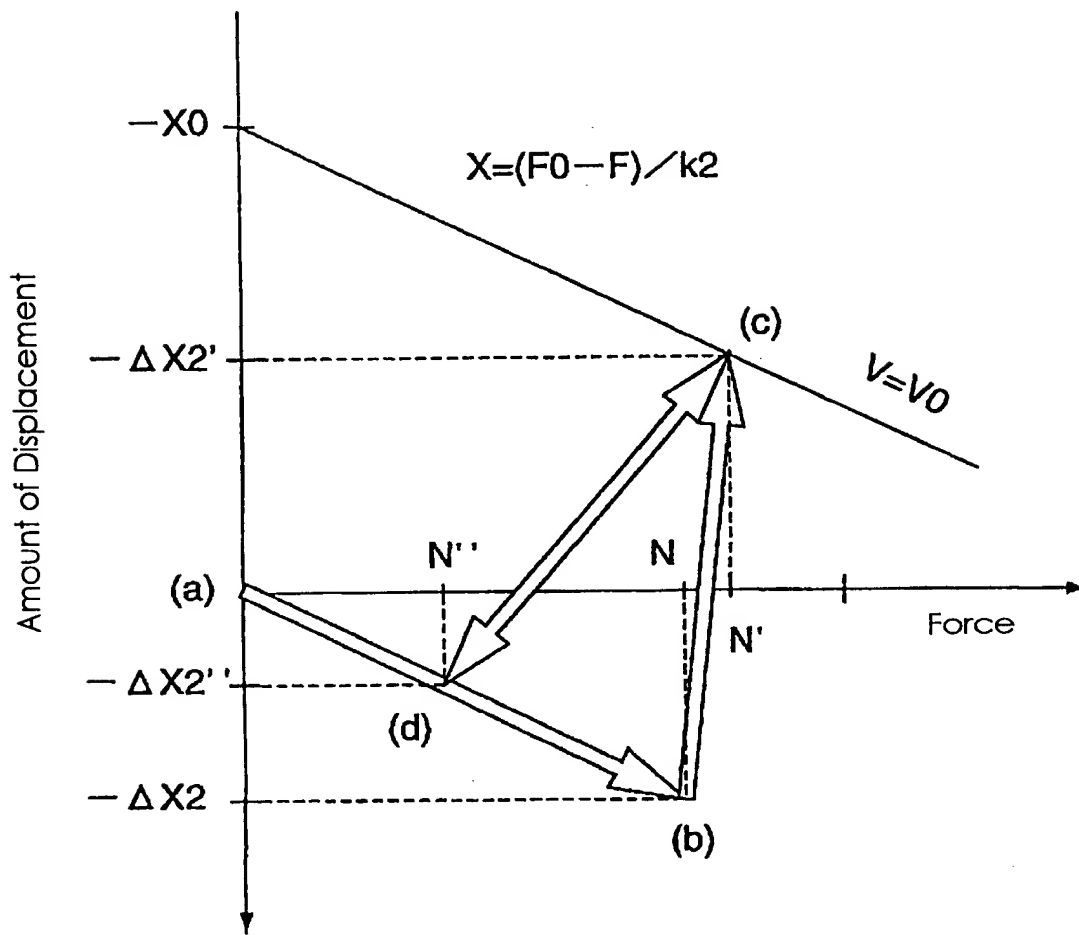


FIG. 12d



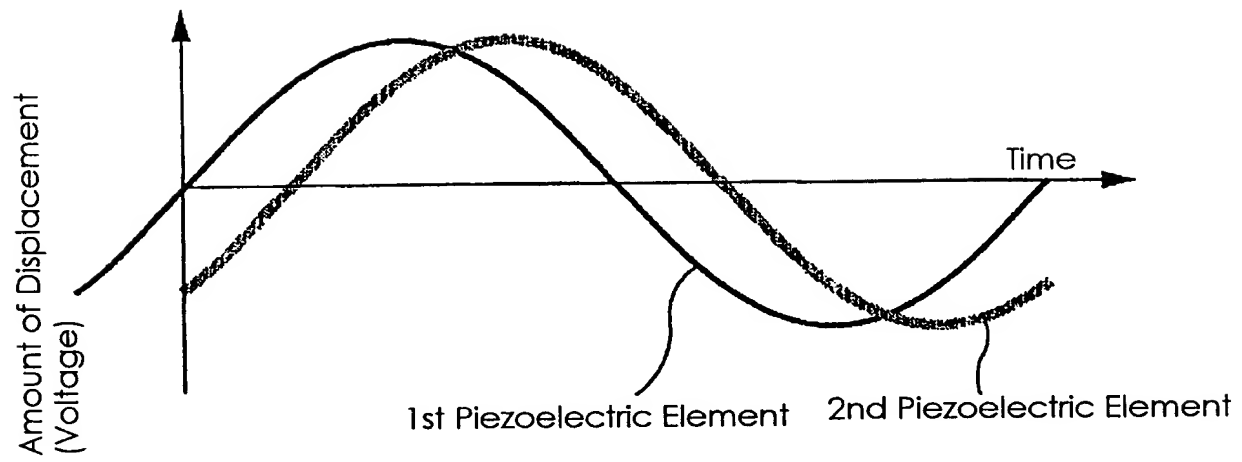
00597570.102600

FIG. 13



005201" 02546960

FIG. 14



009201" 02526960

FIG. 14

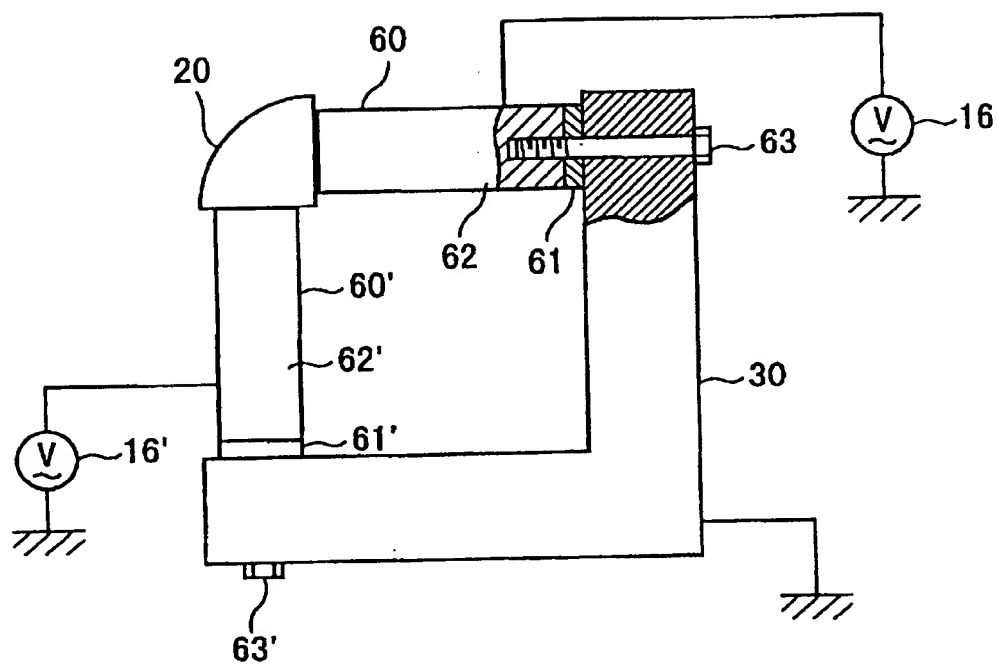


FIG. 15

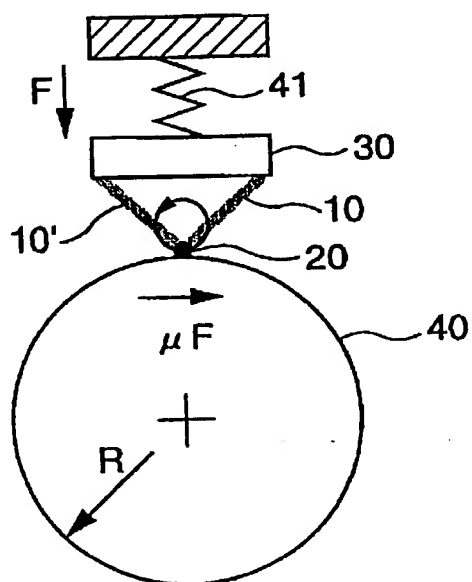


FIG. 17a

FIG. 17b

FIG. 17c

FIG. 17d

FIG. 17e

